

УДК 621.372

ДИФРАКЦИЯ H_{10} -ВОЛНЫ НА РЕЗОНАНСНОЙ ДИАФРАГМЕ В ПРЯМОУГОЛЬНОМ ВОЛНОВОДЕ

A. A. Кураев, Г. Я. Слепян, А. Я. Слепян

Описан численный метод расчета дифракции H_{10} -волны на бесконечно тонкой симметричной резонансной диафрагме с апертурой прямоугольной формы в прямоугольном волноводе без потерь. Приведены результаты расчетов в широком диапазоне параметров.

Задачи дифракции волн на ленточных препятствиях в прямоугольных волноводах представляют большой теоретический и практический интерес. Им посвящено значительное количество работ. Наиболее полно изучены свойства препятствий, обладающих специальными свойствами симметрии, позволяющими свести решаемую задачу к двумерной и применить эффективные строгие методы теории дифракции [1–3] (индуктивные и емкостные диафрагмы и полоски в прямоугольном волноводе и т. д.). Другой класс подробно исследованных задач — дифракция на препятствиях с малым по сравнению с длиной волны отверстием или узкой щелью [4, 5]. Исследование резонансной диафрагмы в общем случае, без каких-либо ограничений на параметры задачи, представляет значительные трудности и возможно с использованием лишь прямых численных методов.

Первая попытка решения данной задачи описана в [6], где на основе вариационного метода Швингера и некоторых дополнительных малообоснованных предположений получена приближенная формула для проводимости резонансной диафрагмы с прямоугольной апертурой*. Общие методы для диафрагмы в волноводе произвольного сечения предложены в [7, 8]. Родственные задачи рассматривались в [9–12]. Однако в литературе отсутствуют численные результаты для резонансной диафрагмы даже с прямоугольной апертурой.

Настоящая статья посвящена описанию нового прямого численного метода исследования дифракции H_{10} -волны на симметричной бесконечно тонкой идеально проводящей диафрагме с прямоугольной апертурой в волноводе прямоугольного сечения без потерь (рис. 1а). Характерной особенностью данного метода является учет особенностей поля на ребрах, а также компактность алгоритма и его экономичность при практической реализации. В статье приводятся численные результаты, полученные на основе данного подхода. Отметим, что он может быть использован и для ряда других родственных задач теории дифракции.

1. ИНТЕГРАЛЬНЫЕ УРАВНЕНИЯ

Для удобства формулировки интегральных уравнений будем решать двойственную по Фельду задачу (рис. 1б) (стенки волновода на рис. 1б — магнитные). Пусть $\begin{Bmatrix} e_1 \\ h_1 \end{Bmatrix}$ — H_{10} -волна единичной амплитуды прямоугольного волновода, $\begin{Bmatrix} E_1 \\ H_1 \end{Bmatrix}$ — полное электромагнитное поле

* Окончательные соотношения [6], как отмечено в [5], неверны ввиду допущенных при их выводе алгебраических ошибок.

в «основной» задаче (рис. 1а), $\mathbf{e}_2 = \rho \mathbf{h}_1$, $\mathbf{h}_2 = -\rho^{-1} \mathbf{e}_1$ ($\rho = 120\pi$ [Ом] — волновое сопротивление свободного пространства), $\left\{ \begin{array}{l} \mathbf{E}_2 \\ \mathbf{H}_2 \end{array} \right\}$ — полное поле в двойственной задаче (рис. 1б). Тогда, согласно принципу двойственности [13], решения основной и двойственной задач связаны соотношениями ($z > 0$)

$$\mathbf{E}_1 = \mathbf{e}_1 + \rho \mathbf{H}_2, \quad (1)$$

$$\mathbf{H}_1 = \mathbf{h}_1 - \frac{1}{\rho} \mathbf{E}_2.$$

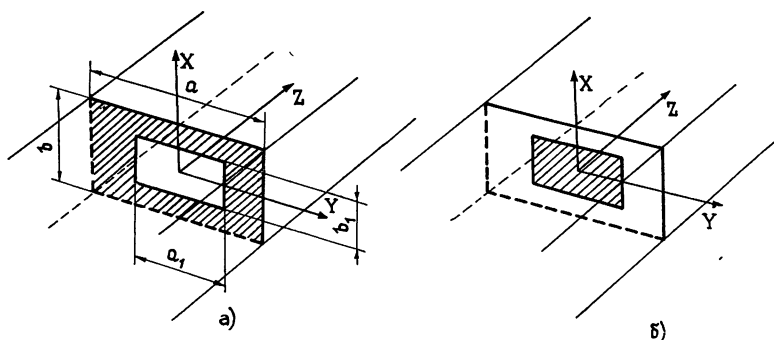


Рис. 1.

Будем рассматривать наиболее интересный для практики одномодовый режим волновода*. При этом поле в дальней зоне ($z \rightarrow +\infty$) полностью характеризуется коэффициентом прохождения T_1 , который связан с коэффициентом отражения в двойственной задаче R_2 соотношением

$$T_1 = -R_2. \quad (2)$$

Введем потенциалы Боргниса U, V [14] соотношениями

$$E_y = \left(\frac{\partial^2}{\partial y^2} + k^2 \right) U, \quad E_x = \frac{\partial^2 U}{\partial x \partial y} + \frac{\partial V}{\partial z}, \quad (3)$$

k — волновое число в свободном пространстве. Так как $(\mathbf{e}_2, \mathbf{x}_0) = 0$, то для вычисления R_2 достаточно определить только функцию U .

Задавая U в виде потенциала простого слоя с неизвестной плотностью $\sigma(\mathbf{R})$, распределенной по апертуре A , можно получить следующее интегродифференциальное уравнение для $\sigma(\mathbf{R})$:

$$\left(\frac{\partial^2}{\partial y^2} + k^2 \right) \int_A \sigma(\mathbf{R}') G_U(\mathbf{R}, \mathbf{R}') dA' = -\cos \frac{\pi}{a} y, \quad (4)$$

$$\mathbf{R}, \mathbf{R}' \in A,$$

где $G_U(\mathbf{R}', \mathbf{R})$ — функция Грина прямоугольного волновода, удовлетворяющая граничным условиям

* Ввиду симметрии задачи относительно осей $0X$ и $0Y$ возможно возбуждение только волн типов $H_{2m+1, 2n}$, $E_{2m+1, 2n}$, в силу чего границы одномодового режима определяются равенством

$$ka < \pi \min \left\{ 3, \sqrt{1 + \left(\frac{2a}{b} \right)^2} \right\}.$$

$$G_U \Big|_{y=\pm a/2} = 0, \quad \frac{\partial G_U}{\partial x} \Big|_{x=\pm b/2} = 0.$$

Обращая дифференциальный оператор в (4), получаем

$$\int_A \sigma(R') G_U(R, R') dA' = C_1(x) \cos ky + C_2(x) \sin ky - \frac{\cos \frac{\pi}{a} y}{k^2 - \left(\frac{\pi}{a}\right)^2}, \quad (5)$$

где $C_{1,2}(x)$ — некоторые неизвестные функции. Из свойств симметрии следует, что $C_2(x) = 0$, $C_1(x)$ должно быть определено из равенств

$$\sigma\left(x, \pm \frac{a_1}{2}\right) = 0, \quad (6)$$

вытекающих из условия Мейскнера на ребре при $y = \pm \frac{a_1}{2}$. Система

(5), (6) значительно удобнее для численного решения, чем исходное интегродифференциальное уравнение (4). При использовании (5) и (6) интерполяционного метода отпадает необходимость конечно-разностной аппроксимации оператора $\left(\frac{\partial^2}{\partial y^2} + k^2\right)$. Что касается проекционного метода, то сходимость рядов для матричных элементов системы (5), (6) значительно выше, чем для уравнения (4).

2. ПРОЕКЦИОННЫЙ АЛГОРИТМ

В соответствии с общей идеей проекционного метода представим

$$\sigma(R) = \sum_{m=0}^M \sum_{n=0}^N d_{mn} \frac{T_{2n}\left(\frac{2x}{b_1}\right)}{\sqrt{\left(\frac{b_1}{2}\right)^2 - x^2}} \varphi_m(y); \quad (7)$$

$$C_1(x) = \sum_{q=0}^Q c_q \Psi_q(x), \quad (8)$$

где d_{mn} , c_q — искомые коэффициенты, $T_n(x)$ — полиномы Чебышева 1-го рода n -го порядка, $\varphi_m(y)$, $\Psi_q(x)$ — некоторые полные системы функций соответственно в $L_2\left(-\frac{a_1}{2}, \frac{a_1}{2}\right)$ и $L_2\left(-\frac{b_1}{2}, \frac{b_1}{2}\right)$. Отметим, что разложение (7) почленно удовлетворяет правильному условию на ребре при $x = \pm \frac{b_1}{2}$.

Подставляя (7), (8) в (5), (6) и выполняя обычные (см., например, [13]) проекционные операции, получаем следующую систему линейных алгебраических уравнений для d_{mn} , c_q :

$$\begin{array}{c|c|c|c|c} A_{11} & A_{12} & \dots & A_{1M} & -\Lambda_1 \\ \hline A_{21} & A_{22} & \dots & A_{2M} & -\Lambda_2 \\ \hline \dots & \dots & \dots & \dots & \dots \\ \hline A_{M1} & A_{M2} & \dots & A_{MM} & -\Lambda_M \\ \hline \Gamma_1 & \Gamma_2 & \dots & \Gamma_M & 0 \end{array} \times \begin{bmatrix} d_{(1)} \\ d_{(2)} \\ \dots \\ d_{(M)} \\ c \end{bmatrix} = \begin{bmatrix} B_{(1)} \\ B_{(2)} \\ \dots \\ B_{(M)} \\ 0 \end{bmatrix}. \quad (9)$$

Здесь $A_{mm'} - N \times N$ — матрица с элементами

$$A_{mm'nn'} = \frac{2(-1)^{n+n'}\pi^2}{jab} \sum_{s=1}^{\infty} \sum_{p=0}^{\infty} \frac{J_{2n}\left(\frac{p\pi b_1}{b}\right) J_{2n'}\left(\frac{p\pi b_1}{b}\right)}{\sqrt{k^2 - \frac{(2s-1)^2\pi^2}{a^2} - \frac{4p^2\pi^2}{b^2}}} \times \\ \times \int_{-\frac{a_1}{2}}^{\frac{a_1}{2}} \varphi_m(y) \cos \frac{(2s-1)\pi}{a} y dy \int_{-\frac{a_1}{2}}^{\frac{a_1}{2}} \varphi_{m'}(y) \cos \frac{(2s-1)\pi}{a} y dy (2-\delta_{p0}), \quad (10)$$

δ_{p0} — символ Кронекера, $J_v(x)$ — функция Бесселя 1-го рода v -го порядка, $\Lambda_m - N \times Q$ — матрица с элементами

$$\Lambda_{mnq} = \int_{-\frac{a_1}{2}}^{\frac{a_1}{2}} \varphi_m(y) \cos ky dy \int_{-\frac{b_1}{2}}^{\frac{b_1}{2}} \frac{T_{2n}\left(\frac{2x}{b_1}\right) \Psi_q(x)}{\sqrt{\left(\frac{b_1}{2}\right)^2 - x^2}} dx, \quad (11)$$

$\Gamma_m - Q \times N$ — матрица с элементами

$$\Gamma_{mqn} = \varphi_m\left(\frac{a_1}{2}\right) \int_{-\frac{b_1}{2}}^{\frac{b_1}{2}} \frac{T_{2n}\left(\frac{2x}{b_1}\right) \Psi_q(x)}{\sqrt{\left(\frac{b_1}{2}\right)^2 - x^2}} dx, \quad (12)$$

$$d_{(j)} = \begin{bmatrix} d_{j0} \\ d_{j1} \\ \dots \\ d_{jN} \end{bmatrix}, \quad c = \begin{bmatrix} c_0 \\ c_1 \\ \dots \\ c_Q \end{bmatrix},$$

$$j = 0, 1, 2, \dots, M.$$

Строение вектора $B_{(j)}$ полностью аналогично $d_{(j)}$, элементы выражаются соотношением

$$B_{jn} = -\pi \delta_{n0} \int_{-\frac{a_1}{2}}^{\frac{a_1}{2}} \frac{\cos \frac{\pi}{a} y}{k^2 - \left(\frac{\pi}{a}\right)^2} \varphi_m(y) dy. \quad (13)$$

Конкретизируя $\{\varphi_m\}$, $\{\Psi_q\}$, можно получить различные варианты данного алгоритма.

Коэффициент отражения R_2 в M -приближении выражается следующим образом:

$$R_2^M = \frac{\pi \sqrt{k^2 - \left(\frac{\pi}{a}\right)^2}}{jab} \sum_{m=0}^M d_{m0} \int_{-a_1/2}^{a_1/2} \varphi_m(y) \cos \frac{\pi}{a} y dy. \quad (14)$$

В одномодовом режиме справедливо следующее тождество, выражающее баланс активных мощностей в системе:

$$\operatorname{Re} R = -|R|^2. \quad (15)$$

Это равенство может быть использовано для контроля точности вычислений.

3. ЧИСЛЕННЫЕ РЕЗУЛЬТАТЫ

При численной реализации описанного алгоритма функции $\{\varphi_m(y)\}$ были выбраны в виде $\cos \frac{m\pi}{a_1} y$, функции $\{\Psi_q(x)\}$ задавались в двух вариантах:

$$\Psi_q^I(x) = T_{2q} \left(\frac{2x}{b_1} \right), \quad \Psi_q^{II}(x) = \cos \frac{q\pi}{b_1} x.$$

Легко видеть, что при таком выборе $\{\varphi_m(y)\}$, $\{\Psi_q(x)\}$ все квадратуры в (10) — (14) вычисляются в замкнутом виде.

Наиболее трудоемкой операцией в данном алгоритме является расчет рядов в формуле (10). Заметим, что суммирование в (10) необходимо проводить с высокой степенью точности, чтобы не возникала неустойчивость алгоритма. Ряды для $A_{mm'nn'}$ были преобразованы к удобному для расчетов виду путем выделения главной части, получаемой из (10) предельным переходом $p \rightarrow \infty$, $s \rightarrow \infty$. Разностный ряд сходится быстрее исходного, а медленно сходящийся ряд в главной части не зависит от m , m' , n , n' и, следовательно, вычисляется однократно для всей матрицы A .

Численные эксперименты показывают, что в разностном ряду достаточно учитывать по 30—40 членов по каждой переменной суммирования, а в главной части — 50—60 членов по s и 100—120 — по p .

Таблица

M	N	$ka = 1,1 \pi$		$ka = 2,5 \pi$	
		$ T_1 $	$\varphi, \text{град}$	$ T_1 $	$\varphi, \text{град}$
3	1	0,63212	50,75	0,95978	— 16,30
	2	0,63791	50,32	0,95972	— 16,31
5	1	0,65505	48,87	0,95804	— 16,65
	2	0,66494	48,24	0,95783	— 16,68
	3	0,66519	48,24	0,95780	— 16,67
7	2	0,67032	47,01	0,95667	— 16,88
	3	0,67525	46,96	0,95672	— 16,87
8	2	0,68625	46,53	0,95614	— 17,02
	3	0,68892	46,44	0,95624	— 17,00

Система (9) решалась методом Гаусса с выбором главного элемента. В таблице приведены результаты расчетов по данному алгоритму при различных ka , M , N ($Q = N$) для $\frac{a}{b_1} = 2$, $\frac{a}{a_1} = 1,5$, $\frac{b}{b_1} = 2$ ($\Psi_q(x) = \Psi_q^I(x)$). Расчеты показывают, что скорость сходимости в основном достаточно высока. Однако при $ka \approx \pi$ сходимость алгоритма по n , q замедляется и для стабилизации результатов требуются значительно большие, чем в других случаях, N и Q . Если N , Q недостаточно велики, то коэффициенты c_q не убывают с ростом q ; по поведению c_q

можно судить о правильности выбора N^* . Скорость сходимости алгоритма практически не изменилась от замены $\{\Psi_q^I(x)\} \rightarrow \{\Psi_q^{II}(x)\}$. Численные эксперименты показывают, что необходимо выполнение условия $N \geq Q$; в противном случае матрица системы (9) становится плохо обусловленной.

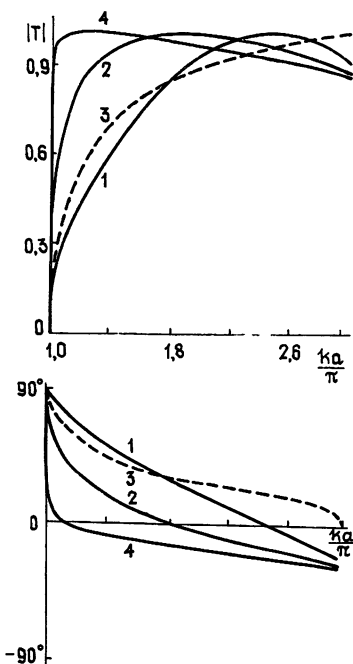


Рис. 2.

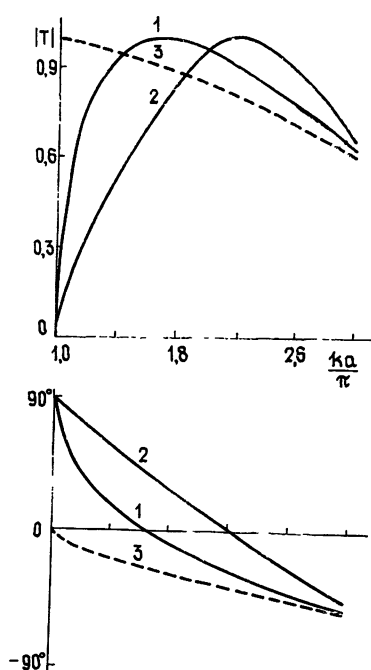


Рис. 3.

Рис. 2. Зависимости модуля и фазы коэффициента прохождения от ka/π : $a/b = 2$; $1 - a/a_1 = 2$, $b/b_1 = 2$; $2 - a/a_1 = 1,5$, $b/b_1 = 2$; $3 - a/a_1 = 2$, $b/b_1 = 1,11$; $4 - a/a_1 = 1,11$, $b/b_1 = 2$.

Рис. 3. Зависимости модуля и фазы коэффициента прохождения от ka/π : $a/b = 2$, $b/b_1 = 3$; $1 - a/a_1 = 1,5$; $2 - a/a_1 = 2$; $3 - a/a_1 = 1,05$.

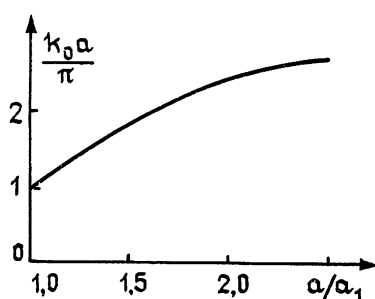
На рис. 2, 3 показаны частотные характеристики модуля и фазы коэффициента прохождения T_1 для различных значений a/a_1 , b/b_1 , $a/b = 2$. Из приведенных графиков видно, что при $a/a_1 \neq 1$, $b/b_1 \neq 1$

существуют значения k_0 , при которых $|T_1| = 1$, а $\varphi_{T_1} = 0$ (резонанс). При уменьшении a/a_1 либо увеличении b/b_1 , k_0 уменьшается и стремится к k_{kp} для волны H_{10} ; при увеличении a/a_1 либо уменьшении b/b_1 , k_0 стремится к k_{kp} для волны H_{30} . На рис. 4 показана зависимость $k_0 a/\pi$ от a/a_1 для $b/b_1 = 2$.

Все расчеты, приведенные в настоящей статье, выполнены на ЭВМ ЕС-1022; время счета одной частотной характеристики (9 точек) примерно 5–7 минут.

Рис. 4. Зависимость $k_0 a/\pi$ от a/a_1 ; $b/b_1 = 2$, $a/b = 2$.

* Заметим, что даже в тех случаях, когда N и Q заведомо недостаточны, условия (15) выполняются с высокой степенью точности.



Авторы благодарны А. С. Ильинскому за полезные обсуждения и советы при выполнении настоящей работы.

ЛИТЕРАТУРА

1. Вайнштейн Л. А. Теория дифракции и метод факторизации. — М.: Сов. радио, 1966.
2. Шестопалов В. П., Щербак В. В. — Радиотехника и электроника, 1966, 11, № 4, с. 675; № 6, с. 1066; 1965, 10, № 6, с. 1043; № 7, с. 1202.
3. Заболотиков Ю. П. — Радиотехника и электроника, 1964, 9, № 4, с. 671; 1965, 10, № 4, с. 642; 1967, 12, № 2, с. 344.
4. Фихманас Р. Ф., Фридберг П. Ш. — Радиотехника и электроника, 1975, 18, № 5, с. 909; № 6, с. 1022.
5. Фридберг П. Ш. Диссертация. Вильнюс, 1965.
6. Левин Л. Современная теория волноводов. — М.: Мир, 1954.
7. Никольский В. В. — Радиотехника и электроника, 1975, 20, № 10, с. 2046.
8. Фельд Я. Н. — Радиотехника и электроника, 1977, 22, № 1, с. 3.
9. Ильинский А. С., Свешников А. Г. Лекции на VI Всесоюзной школе-семинаре по дифракции и распространению волн. — Рязань: Б. И., 1975.
10. Свешников А. Г., Репин В. М. — В сб.: Вычислительные методы и программирование — М.: МГУ, 1973, вып. 20, с. 12.
11. Репин В. М. — ЖВММФ, 1971, 11, № 1, с. 152.
12. Ильинский А. С., Гринев А. Ю., Котов Ю. В. — Радиотехника и электроника, 1978, 23, № 5, с. 922.
13. Никольский В. В. Электродинамика и распространение радиоволн. — М.: Наука, 1975.
14. Анго А. Математика для электро- и радиоинженеров. — М.: Наука, 1965.

Минский радиотехнический институт

Поступила в редакцию
18 июля 1979 г.

DIFFRACTION OF H_{10} -WAVE BY A RESONANCE DIAPHRAGM IN A RECTANGULAR WAVEGUIDE

A. A. Kuraev, G. Ya. Slepyan, A. Ya. Slepyan

A numerical method is described for the calculation of H_{10} -wave diffraction by an infinite thin symmetric resonance diaphragm with an aperture of a rectangular form in a rectangular waveguide without losses. Calculational results in a wide range of parameters are given.